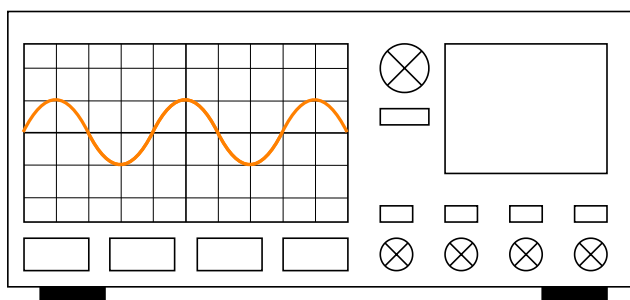


## $\mu$ Oscilloscope

### 3.º Trabalho de Laboratório



---

*Autores:*

**João Gonçalves**, ist199995

- jrazevedogoncalves@tecnico.ulisboa.pt

**Teresa Nogueira**, ist1100029

- maria.teresa.ramos.nogueira@tecnico.ulisboa.pt

**Tatiana Delgado**, ist1100089

- tatianadelgado@tecnico.ulisboa.pt

*Docente:*

**Diogo Miguel Caetano**

Grupo 64. Turno: terça-feira 14:30-16:00. Laboratório LPT.

# I. Introdução

## A) Enquadramento, Objetivos e Organização do Trabalho

Um sistema embebido (*embedded system*) é um conjunto de *hardware* e *software* concebido para executar uma tarefa específica, i.e., não tem por finalidade a computação genérica.

Em termos de componentes, um sistema embebido poderá consistir em:

1. *Sensores*: captam informações externas, convertendo-as em dados digitais posteriormente processados.
2. *Processadores*: responsáveis por processar os dados coletados pelos sensores e executar algoritmos que geram informação útil através destes dados.
3. *Portas I/O digitais*: permitem a comunicação do sistema com o mundo exterior, controlando dispositivos e recebendo informações de botões, interruptores e/ou outros sensores digitais.
4. *Portas série*: facilitam a comunicação com outros dispositivos e computadores, através de protocolos específicos para a troca de dados.
5. *Conversores analógico-digital* (ADCs): transformam sinais analógicos, como tensões e correntes, em valores digitais que podem ser processados pelo sistema.
6. *Conversores digital-analógico* (DACs): realizam a conversão inversa, i.e., transformam valores digitais em sinais analógicos que podem ser utilizados para controlar dispositivos externos.

A *Internet das Coisas* (*Internet of Things*, IoT) surge como um paradigma que conecta dispositivos físicos à *internet*, permitindo a troca de dados e a comunicação em tempo real.

Neste trabalho, apresentamos um sistema embebido que implementa um osciloscópio. O projeto  $\mu$ Oscilloscope consiste no desenvolvimento de uma aplicação de *software* para implementar um pequeno osciloscópio através de *hardware* para desenvolvimento de soluções IoT. Os objetivos do trabalho podem ser resumidos em:

1. Domínio do circuito de *hardware* base do projeto.
2. Implementação do *software* do  $\mu$ Oscilloscope.
3. Depuração e otimização do *software*.
4. Calibração o  $\mu$ Oscilloscope.

O módulo IoT apresenta uma implementação de *software* compatível com Python 3, [MicroPython®](#), otimizada para microcontroladores. O código apresentado é desenvolvido com este *subset* da linguagem em mente.

A linguagem de programação Python® é referenciada pela documentação oficial [1, 2], enquanto os métodos de processamento de sinais digitais discretos são baseados em Oppenheim e Schaffer (2010) [3] e Beard (2004) [4].

É esperado que este trabalho prático complemente o estudo da:

- *Eletrónica dos sistemas embebidos*, i.e., a interface entre os microcontroladores e os componentes externos.

O que se segue neste documento é organizado da seguinte forma: na Secção II abordamos em detalhe o desenvolvimento do *software*. Segue-se, na Secção III, os resultados dos testes realizados no simulador. Na Secção IV discutimos os testes efetuados no laboratório. Por fim, apresentamos as conclusões na Secção V.

## B) Descrição do Hardware Base

O  $\mu$ Oscilloscope é um dispositivo IoT essencialmente composto por:

1. *Módulo IoT*: integra múltiplos componentes, entre os quais se destaca a placa microcontroladora baseada num processador da família ESP32. Este processador opera a 240 MHz, possui 32 bits de largura e integra memória flash de 4 MB e SRAM de 560 kB. A placa microcontroladora também inclui três botões (um de *reset* e dois programáveis), diversas interfaces modulares, conectividade Wi-Fi e Bluetooth, bateria de íons de lítio (Li-ion) recarregável, porta USB Tipo-C para carregamento da bateria e transferência de *software*, ecrã TFT e uma placa de interface para entrada de sinais.
2. *Placa de interface de sinais e ADC*: o ADC de 12 bits permite a conversão de tensões de 0 V a 2 V numa palavra digital. Para aumentar a gama de medição, a placa de interface do módulo IoT realiza um *offset* de 1 V no terminal negativo do sinal de entrada e possui divisores resistivos selecionáveis por transístores. A escala utilizada (segunda), tem um fator de divisão de  $1/29.3$ , e permite leituras entre  $-30$  V e  $30$  V.
3. *Ecrã TFT* (*thin-film transistor liquid-crystal display* de 1.14"): controlável através de uma biblioteca fornecida (`T_Display.py`), suporta cores e tem uma resolução de  $240 \times 135$  pixels (`width`  $\times$  `height`).

## II. Desenvolvimento do Programa

Nesta secção, será abordado o desenvolvimento do programa<sup>1</sup>, detalhando a sua estrutura (*top-down*), as funcionalidades implementadas e os métodos de desenvolvimento utilizados.

### A) Estrutura do Programa

O cabeçalho do *script* tem como objetivo principal importar as bibliotecas necessárias para o funcionamento do programa<sup>2</sup> e inicializar um conjunto de variáveis globais que definem a representação gráfica dos dados no ecrã TFT. Esta escolha proporciona flexibilidade e acessibilidade global, i.e., as variáveis podem ser acedidas e modificadas por qualquer função, facilitando a manipulação das configurações gráficas em diferentes partes do código, sem a necessidade de passar parâmetros entre funções e evitando a utilização de “números mágicos”.

```

1  #!/usr/bin/env python3
2  import sys, gc, cmath, math, T_Display
3
4  # Global variables
5  tft = T_Display.TFT()           # TFT display interface
6  width = 240                     # Max width (px)
7  height = 135                   # Max height (px)
8  x_div = 10                     # Number of horizontal divisions
9  x_range = [5, 10, 20, 50]      # Time scale (ms)
10 x_range_index = 0              # Time scale starting index
11 y_div = 6                      # Number of vertical divisions
12 y_range = [1, 2, 5, 10]        # Amplitude scale (V)
13 y_range_index = 1              # Amplitude scale starting index

```

O ciclo principal (*main loop*) do *script* define o comportamento do sistema em resposta aos cliques nos botões programáveis do módulo IoT, tal como descrito no guia laboratorial. Cada ação é mapeada para uma função específica, garantindo a modularidade e clareza do código.

```

357 if __name__ == "__main__":
358     # Create an instance of the uOscilloscope object
359     osc = uOscilloscope()
360
361     # Main loop
362     while tft.working():
363         button = tft.readButton()
364         if button != tft.NOTHING:
365             print("Button pressed:", button)
366             if button == 11: # Fast click button 1
367                 osc.time_display()
368             elif button == 12: # Long click button 1
369                 osc.send_email()
370             elif button == 13: # Double click button 1
371                 osc.write_to_display()
372             elif button == 21: # Fast click button 2
373                 osc.change_x_scale()
374             elif button == 22: # Long click button 2
375                 osc.change_y_scale()
376             elif button == 23: # Double click button 2
377                 osc.freq_display()
378             else: print("Invalid button key")

```

Cada botão mapeia as seguintes funcionalidades:

- ☞ Botão (11): Reinicia o *display* e realiza uma nova leitura, representando a forma de onda no tempo.
- ☞ Botão (12): Envia um email com os valores de tensão e uma mensagem para os endereços *hardcoded*.
- ☞ Botão (13): Apaga o *display* e apresenta os valores de *avg*, *rms*, *min* e *max* do sinal de entrada atual.
- ☞ Botão (21): Altera a escala vertical, passando para a escala imediatamente acima e de forma circular.
- ☞ Botão (22): Altera a escala horizontal, passando para a escala imediatamente acima e de forma circular.
- ☞ Botão (23): Calcula a transformada de Fourier e apresenta o espectro do sinal no domínio da frequência.

Todas as funções foram implementadas como métodos da classe `uOscilloscope` de forma a otimizar a organização e a legibilidade do código, bem como promover o encapsulamento (consequentemente, evitar conflitos) e melhorar a capacidade de teste e manutenção do *software*, como será discutido na secção que se segue.

<sup>1</sup> O ficheiro `main.py` pode ser encontrado na íntegra em anexo na pasta comprimida.

<sup>2</sup> Compatíveis com MicroPython®, como descrito na documentação oficial [aqui]. A biblioteca `T_Display` encontra-se por padrão em memória nos dispositivos e realiza a interface programável do módulo IoT (API para a aquisição, atualização do ecrã, etc).

## B) Funcionalidades Principais do Programa

A classe `uOscilloscope` condensa um conjunto de funções do sistema embebido que implementa um osciloscópio, com exceção de rotinas *low level* que fazem a interface com o *hardware* do módulo IoT, como é o caso da biblioteca disponibilizada, `T_display`. Este trabalho, portanto, consistiu na implementação de diversos algoritmos que realizam as funcionalidades requeridas e na realização de uma interface de utilizador para o pequeno osciloscópio, como se apresenta em seguida.

Em primeira instância, utilizou-se o construtor da classe, `__init__()`, de forma a garantir a inicialização da tela do dispositivo IoT, a configuração das definições iniciais de exibição, e a representação do sinal analógico, à entrada do programa, com a criação do objeto criado a partir da classe.

```

16 class uOscilloscope:
17     """
18     This class provides essential functions for interacting with the uOscilloscope.
19     - Data Acquisition: Samples and processes analog signals from an ADC.
20     - Display and Visualization: Renders signal waveforms on a TFT display.
21     - Signal Analysis: Calculates essential signal statistics (maximum, minimum, average, and RMS values).
22     - Data Export: Sends measurement summaries and signal data via email.
23     - Scale Adjustments: Provides controls to modify the X-axis (time/freq.) and Y-axis (amplitude) scales.
24     - Frequency Analysis: Performs a Fourier transform to display the spectrum of the input signal.
25     """
26     def __init__(self):
27         # Init IoT display for the first time
28         self.time_display()
29
30     ...

```

A função `time_display` é responsável pela representação do sinal no domínio do tempo. A flag `function_flag`, que indica o modo de exibição atual (tempo ou frequência), garante a correta disposição dos parâmetros no *display*. Consequentemente, a função `clear_display`, responsável por limpar o ecrã e imprimir o painel do osciloscópio, adapta-se ao modo selecionado, ajustando as escalas de acordo. Os cálculos de escala garantem que o sinal seja ajustado aos limites do *display*, considerando a amplitude e as divisões selecionadas.

```

127 def time_display(self):
128     x, y = [], []
129     self.function_flag = "time" # Sets display mode to "time"
130
131     # Sampling and converting to the right range
132     self.read_samples()
133
134     # Plot sampled values in the current X and Y scale
135     y_div_factor = y_range[y_range_index] * y_div / (height - 16)
136     x = list(range(len(self.amplitudes)))
137     y = [
138         round(max(0, min((height - 16) / 2 + value / y_div_factor, height - 16)))
139         for value in self.amplitudes
140     ]
141
142     # Clear the display and print the plot
143     self.clear_display()
144     tft.display_nline(tft.YELLOW, x, y) # Display the plot

```

A função de aquisição de amostras foi desenvolvida de forma modular, o que permite que as restantes funções de representação operem com os dados mais recentes (`time_display`, `write_to_display`, `freq_display`). A atribuição da reta de conversão das amostras para amplitudes é condicionada ao ambiente de aquisição, i.e., módulo IoT ou simulação. No caso do módulo IoT, a reta de conversão depende da calibração prévia. Acrescenta-se que a conversão do nível digital para amplitude foi implementada com base numa função `lambda` de forma a manter o código conciso e permitir melhor interface com a lógica condicional.

```

36 def read_samples(self):
37     # Read raw ADC samples:
38     self.samples = tft.read_adc(240, x_range[x_range_index] * x_div)
39
40     # Conditional conversion based on environment:
41     if sys.implementation.name == "micropython": # Check if running on a MicroPython device
42         convert_sample = lambda sample: 0.0120 * sample - 24.06 # IoT 03.0003
43     else:
44         convert_sample = lambda sample: 0.0129 * sample - 26.62 # Simulator
45
46     # Convert raw samples to amplitudes:
47     self.amplitudes = [convert_sample(sample) for sample in self.samples]

```

Conforme já mencionado, a função `clear_display` é responsável pela exibição das escalas e ícones no *display*. Ressalta-se a representação adicional da frequência do sinal (obtida pela função `estimated_frequency` através do método de *zero crossings* como veremos na secção II-C) e de um indicador de *out of scale*, ativo quando o sinal excede os limites do *display* para a escala atual.

```

88 def clear_display(self):
89     tft.display_set(tft.BLACK, 0, 0, width, height)           # Erase display
90     tft.set_wifi_icon(width - 16, height - 16)                # Set wifi icon
91
92     # Conditional Behavior Based on Display Mode:
93     if self.function_flag == "time":                            # Time Domain Display
94         tft.display_write_grid(0, 0, width, height - 16, x_div, y_div, True) # Set grid
95         estimated_freq = round(self.estimate_frequency())
96
97         formatted_strings = [ # Labels for the X and Y scales, and freq.
98             (f"{y_range[y_range_index]:02d}V/", 0),
99             (f"{x_range[x_range_index]:02d}ms/", 45),
100             (f"f={estimated_freq:03d} Hz", 100)
101         ]
102
103         # Print scales and signal frequency
104         for text, x_pos in formatted_strings:
105             tft.display_write_str(tft.Arial16, text, x_pos, height - 16)
106         # Print signal out of range error
107         if (max(abs(value) for value in self.amplitudes) > y_range[y_range_index] * y_div / 2):
108             tft.display_write_str(tft.Arial16, "scale", 175, height - 16, tft.RED)
109
110     elif self.function_flag == "freq":                          # Freq. Domain Display
111         tft.display_write_grid(0, 0, width, height - 16, x_div, y_div, False) # Set grid
112
113         formatted_strings = [ # Labels for the X and Y scales
114             (f"{y_range[y_range_index]/2:.1f}V/", 0),
115             (f"{round(1200/(x_range[x_range_index])):03d}Hz/", 50)
116         ]
117
118         # Print scales
119         for text, x_pos in formatted_strings:
120             tft.display_write_str(tft.Arial16, text, x_pos, height - 16)
121         # Print signal out of range error
122         if (max(value for value in self.magnitudes) > y_range[y_range_index] * y_div / 2):
123             tft.display_write_str(tft.Arial16, "scale", 175, height - 16, tft.RED)

```

O envio dos emails com os pontos adquiridos e as métricas do sinal é desempenhado pela função `send_email`. A mensagem é enviada para os três endereços de email *hardcoded* de forma simultânea, conforme se segue.

```

145 def send_email(self):
146     # Sampling and converting to the right range
147     self.read_samples()
148
149     # Sample period and calculations on the sampled values
150     fs = 240 * 1000 / (x_range[x_range_index] * x_div) # Sampling frequency (Hz)
151     estimated_freq = self.estimate_frequency()           # Estimate signal frequency
152     self.signal_metrics()
153
154     # Message formatting
155     stats = [self.max, self.min, self.avg, self.rms, estimated_freq]
156     labels = ["Vmax", "Vmin", "Vavg", "rms", "\nEstimated Freq"]
157     message = ", ".join(f"{label}: {value:.2f}" for label, value in zip(labels, stats))
158
159     # Prepare recipient list:
160     names = ["jrazevedogoncalves", "maria.teresa.amos.nogueira", "tatianadelgado"]
161     emails = ", ".join(f"{name}@tecnico.ulisboa.pt" for name in names)
162
163     tft.send_mail(1 / fs, self.amplitudes, message, emails) # Send email

```

Por sua vez, a função `signal_metrics` é responsável por obter os valores de média (*avg*), valor eficaz (*rms*), mínimo (*min*) e máximo (*max*). O cálculo do valor eficaz segue a fórmula:  $x_{rms} = \sqrt{(x_1^2 + x_2^2 + \dots + x_n^2)/N}$ .

```

48 def signal_metrics(self):
49     """
50     Calculates basic signal metrics including max, min, average and RMS from a list of signal samples.
51     """
52     self.max, self.min = max(self.amplitudes), min(self.amplitudes)
53     self.avg = sum(self.amplitudes) / len(self.amplitudes)
54     self.rms = (sum(value ** 2 for value in self.amplitudes) / len(self.amplitudes)) ** 0.5

```

A função `write_to_display` é responsável por apresentar os valores das métricas do sinal no display. Salienta-se a inclusão da frequência do sinal entre as informações exibidas.

```

164 def write_to_display(self):
165     tft.display_set(tft.BLACK, 0, 0, width, height) # Erase the display
166     tft.set_wifi_icon(width - 16, height - 16)      # Set wifi icon
167
168     # Sampling and converting to the right range
169     self.read_samples()
170
171     # Calculations on the sampled values
172     self.signal_metrics()
173     estimated_freq = self.estimate_frequency()
174
175     formatted_strings = [ # Define data for display
176         (f"Vmax = {self.max:.2f}", 105),
177         (f"Vmin = {self.min:.2f}", 75),
178         (f"Vavg = {self.avg:.2f}", 45),
179         (f"Vrms = {self.rms:.2f}", 15)
180     ]
181
182     for text, y_pos in formatted_strings: # Iterate through data and display it
183         tft.display_write_str(tft.Arial16, text, 20, y_pos)
184
185     tft.display_write_str(tft.Arial16, f"f = {estimated_freq:.2f} Hz", 130, 15) # Displays estimated freq.

```

O ajuste das escalas é realizada pelas funções `change_x_scale` e `change_y_scale`, de forma cíclica.

```

190 def change_x_scale(self): # Cycles the horizontal scale to the next available option.
191     global x_range_index
192     x_range_index = x_range_index + 1
193     if x_range_index == len(x_range): # Check if we reached the end of the list
194         x_range_index = 0 # Reset the index to wrap around
195     self.current_function() # Update the display with the new scale
196
197 def change_y_scale(self): # Cycles the vertical scale to the next available option.
198     global y_range_index
199     y_range_index = y_range_index + 1
200     if y_range_index == len(y_range): # Check if we reached the end of the list
201         y_range_index = 0 # Reset the index to wrap around
202     self.current_function() # Update the display with the new scale

```

A subsequente atualização do display depende do método `current_function`. Esta função depende da `function_flag` que garante que a representação atual (frequência ou tempo) utiliza a escala mais recente.

```

30 def current_function(self): # Redirection function
31     if self.function_flag == "time":
32         self.time_display()
33     elif self.function_flag == "freq":
34         self.freq_display()

```

Por fim, o cálculo da transformada de Fourier para posterior representação do espectro do sinal, conforme o especificado no enunciado do trabalho é desempenhado pela função `dft` (*Discrete Fourier Transform*, DFT):

```

204 def dft(self):
205     """
206     Calculates the DFT of a signal. This implementation directly computes the DFT formula:
207      $X[k] = \sum_{n=0}^{N-1} x[n] * \exp(-j * 2 * \pi * k * n / N)$ 
208     """
209     N = len(self.amplitudes), mag = [0.0] * N
210
211     for k in range(N//2 - 1): # Iterate over frequencies up to half the sample rate (Nyquist limit)
212         real, imag = 0, 0
213         for n in range(N): # Iterate over signal samples
214             theta = -k * (2 * math.pi) * (float(n) / N) # Calculate the phase angle
215             real += self.amplitudes[n] * math.cos(theta) # Accumulate real component
216             imag += self.amplitudes[n] * math.sin(theta) # Accumulate imaginary component
217
218         magnitude = abs(complex(real, imag)) / N # Calculate magnitude from complex number
219         magnitude *= 2 if k != 0 else 1 # Double for non-zero frequencies (symmetry)
220
221         mag[2 * k] = magnitude # Store magnitudes in pairs for efficient plotting
222         mag[2 * k + 1] = magnitude
223
224     return mag

```

A função `freq_display` é responsável pela representação do espectro do sinal amostrado. Em termos de estrutura, assemelha-se à função responsável pela representação do andamento temporal do sinal, efetuando os cálculos de escala (agora no domínio da frequência e com escala de amplitude dupla da escala temporal) e *setup* do ecrã. Salienta-se apenas que o cálculo da transformada de Fourier do sinal depende do método implementado selecionado (`dft` ou `czt`), conforme adiantamos na secção seguinte.

```

331 def freq_display(self):
332     x, y = [], []
333     self.function_flag = "freq"
334
335     # Sampling and converting to the right range
336     self.read_samples()
337
338     # Method to calculate the frequency domain representation of the signal
339     method = "czt"
340     if method == "dft":
341         self.magnitudes = self.dft()
342     elif method == "czt":
343         self.magnitudes = self.czt()
344
345     # Display the frequency representation in the current scales
346     y_div_factor = (y_range[y_range_index] * y_div) / (2 * (height - 16))
347     x = list(range(len(self.magnitudes)))
348     y = [
349         round(max(0, min(value / y_div_factor, height - 16)))
350         for value in self.magnitudes
351     ]
352
353     # Clear the display and print the plot
354     self.clear_display()
355     tft.display_nline(tft.MAGENTA, x, y)

```

### C) Funcionalidades Adicionais

A DFT é o método padrão para calcular a representação de um sinal no domínio da frequência, com uma complexidade de  $\mathcal{O}(N^2)$ . A *Fast Fourier Transform* (FFT) surge como um algoritmo otimizado para a DFT, oferecendo uma vantagem significativa em termos de tempo de processamento, especialmente para conjuntos de dados extensos, já que a sua complexidade computacional é de  $\mathcal{O}(N \log N)$ .

A principal restrição da FFT reside no tamanho da entrada, que deve ser uma potência de dois para garantir máxima eficiência. A *Chirp Z-Transform* (CZT) [5] é uma generalização da DFT. Enquanto a DFT amostra o plano Z em pontos uniformemente espaçados na circunferência unitária, a CZT amostra ao longo de arcos espirais no plano Z, correspondentes a linhas retas no plano S. Consequentemente:

- A CZT oferece melhor resolução de frequência em relação à FFT.
- O número de amostras,  $N$ , não tem que ser igual ao número de amostras da transformada,  $M$ , embora o caso específico da DFT admita  $M = N$ .
- $M$  e  $N$  não necessitam de ser inteiros compostos, nem potências de dois.

Para motivar a CZT, consideremos a expressão da DFT:

$$X_k = \sum_{n=0}^{N-1} x_n \left( e^{-j2\pi/N} \right)^{kn}, \quad k = 0, \dots, N-1.$$

Considerando a identidade algébrica de Bluestein,

$$kn = \frac{1}{2}(k^2 + n^2 - (k-n)^2),$$

é possível chegar à expressão da CZT para o caso da transformada de Fourier:

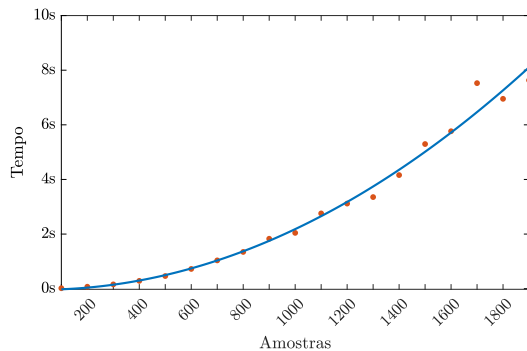
$$\begin{aligned}
 X_k &= \sum_{n=0}^{N-1} x_n \left( e^{-j2\pi/N} \right)^{\frac{1}{2}(k^2 + n^2 - (k-n)^2)} \\
 &= \left( e^{-j2\pi/N} \right)^{\frac{1}{2}k^2} \cdot \sum_{n=0}^{N-1} \left[ x_n \left( e^{-j2\pi/N} \right)^{\frac{1}{2}n^2} \left( e^{-j2\pi/N} \right)^{-\frac{1}{2}(k-n)^2} \right].
 \end{aligned}$$

Onde o *chirp* é a componente  $\left( e^{-j2\pi/N} \right)^{\frac{1}{2}k^2}$ . A implementação deste algoritmo pode ser encontrada em [anexo](#).



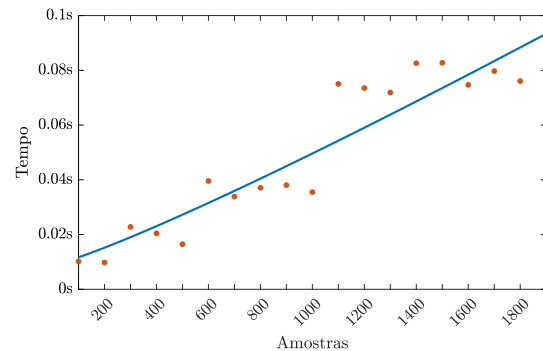
Na prática, este algoritmo é implementado com a FFT e a sua inversa (IFFT) de forma a otimizar a operação de convolução. Para valores de  $M$  e  $N$  suficientemente grandes, o tempo de computação torna-se aproximadamente proporcional a  $(N + M) \log(N + M)$  (consequentemente  $N \log N$  visto que  $N = M$ ). Esta relação contrasta com a complexidade quadrática da avaliação direta da DFT, evidenciando uma otimização temporal significativa. As Figuras 1 e 2 demonstram a evolução dos dois algoritmos para diferentes tamanhos de  $N$ .

```
1 f =
2   Linear model Poly2:
3   f(x) = p1*x^2 + p2*x + p3
4   Coefficients (with 95% confidence bounds):
5   p1 = 2.297e-06 (1.693e-06, 2.9e-06)
6   p2 = -7.825e-05 (-0.00132, 0.001164)
7   p3 = -0.03699 (-0.5764, 0.5024)
```



**Fig. 1:** Evolução temporal da DFT.  
 $O(N^2)$

```
1 f =
2   General model:
3   f(x) = a*x*log(x) + b
4   Coefficients (with 95% confidence bounds):
5   a = 5.884e-06 (4.718e-06, 7.049e-06)
6   b = 0.008971 (-0.0006641, 0.01861)
7 .
```



**Fig. 2:** Evolução temporal da CZT.  
 $O(N \log N)$

Para obter as curvas de complexidade utilizámos a ferramenta `fit` do MATLAB® para os modelos explicitados. Note-se que para o tamanho do sinal amostrado em prática neste trabalho ( $N = 240$ ), existe uma relação de cerca de duas ordens de grandeza na resposta temporal entre os dois algoritmos para o processador utilizado<sup>3</sup>.

Outra funcionalidade suplementar adicionada ao `uOscilloscope` foi a capacidade de estimar a frequência do sinal amostrado, através de um simples algoritmo (com pequena *footprint*) que calcula as *zero crossings*.

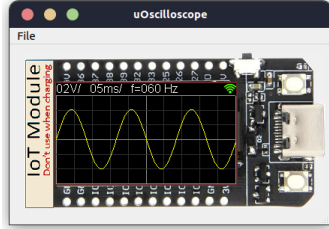
```
204 def estimate_frequency(self):
205     """
206     Estimate frequency by counting zero crossings.
207     Works well for long low-noise sines, square, triangle, etc
208     """
209     fs = 240 * 1000 / (x_range[x_range_index] * x_div) # Sampling rate [S/s]
210
211     # Remove the DC offset from the signal
212     self.avg = sum(self.amplitudes) / len(self.amplitudes)
213     x = [value - self.avg for value in self.amplitudes]
214
215     # Detect both rising and falling edges
216     indices = []
217     for i in range(1, len(x)):
218         if (x[i] >= 0 and x[i-1] < 0) or (x[i] <= 0 and x[i-1] > 0):
219             indices.append(i)
220
221     if len(indices) < 2:
222         return 0 # Not enough edges to determine frequency
223
224     # Linear interpolation to find intersample
225     crossings = [i - x[i] / (x[i] - x[i-1]) for i in indices[:-1]]
226     diff = []
227     previous = None
228     for value in crossings:
229         if previous is not None:
230             diff.append(value - previous)
231         previous = value
232
233     # Check for empty diff array
234     if not diff:
235         return 0 # No valid frequency calculation possible
236
237     return fs / (2 * sum(diff) / len(diff))
```

<sup>3</sup> De facto, a arquitetura e *clock speed* do processador desempenham um fator preponderante na resposta temporal de qualquer computação. No entanto, estes resultados servem apenas para visualizar as proposições teóricas da complexidade dos algoritmos.

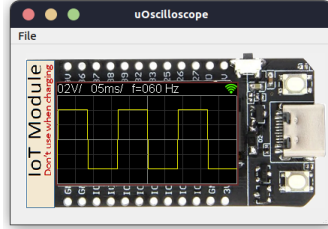


### III. Testes no Simulador

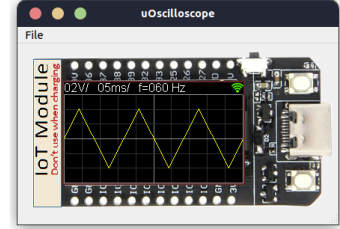
Esta secção condensa a discussão essencial do funcionamento do `uOscilloscope` em regime de simulação. Salienta-se que a função de conversão do nível digital das amostras para amplitudes foi obtida diretamente por inspeção do ficheiro `T_Simulator.py` disponibilizado (que é chamado na classe `TFT` presente na biblioteca `T_Display.py` quando o ambiente MicroPython® não é detetado). As seguintes imagens visam demonstrar a correta operação das funcionalidades do programa:



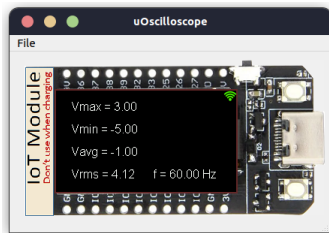
(a) Onda sinusoidal 60Hz, 4V.



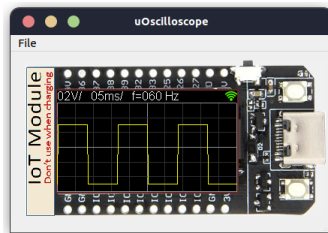
(b) Onda quadrada 60Hz, 4V.



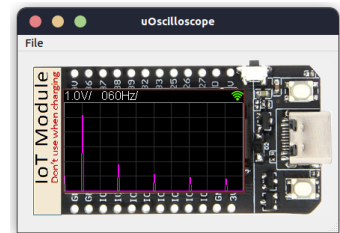
(c) Onda triangular 60Hz, 4V.



(d) Onda quadrada 60Hz, 4V, -1Vdc: avg, rms, min, max e freq.



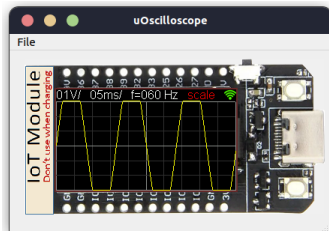
(e) Onda quadrada 60Hz, 4V, -1Vdc: Visualização no tempo.



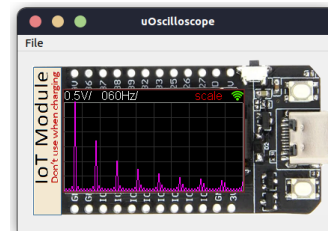
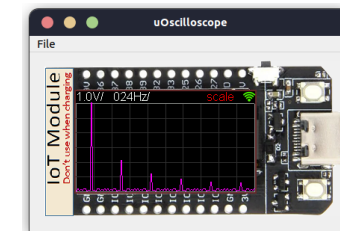
(f) Onda quadrada 60Hz, 4V, -1Vdc: Visualização na frequência.

**Fig. 3:** Visualização do *output* no *display* simulado do osciloscópio. Para garantir consistência visual, utilizou-se uma escala vertical de 2V/div e uma escala horizontal de 5ms/div para as diversas formas de onda. A transformada é exibida com escala vertical de 1V/div e escala horizontal de 60Hz/div, e obtida com o algoritmo CZT.

Destaca-se o indicador *out of scale* presente nas três figuras seguintes, onde o sinal excede os limites da escala vertical na visualização temporal e espectral.



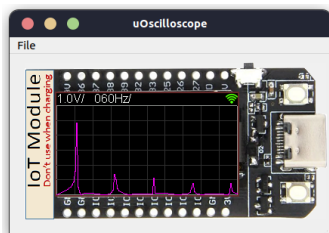
(a) Onda sinusoidal 60Hz, 5V: Out of scale.

(b) Onda quadrada 35Hz, 4V: Espalhamento (leakage),  $f_s/f \in \mathbb{Q}$ .(c) Onda quadrada 500Hz, 4V: Espalhamento (aliasing),  $f > f_s/2$ .

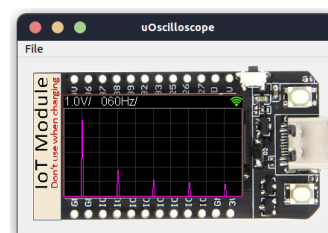
**Fig. 4:** Visualização do funcionamento do indicador *out of scale*.

Ressalta-se que as duas últimas visualizações do espectro escolhidas permitem visualizar: (4b) o fenómeno de espalhamento espectral (*spectral leakage*), uma vez que a frequência do sinal de entrada (35 Hz) não é múltiplo inteiro da frequência de amostragem (1200 Hz); (4c) o espelhamento espectral (*folding* ou *aliasing*), uma vez que o Teorema da Amostragem não é cumprido (neste cenário  $f = 500$  Hz e  $f_s = 480$  Hz), verificando-se, portanto, uma frequência aparente de  $500$  Hz  $- 480$  Hz =  $20$  Hz.

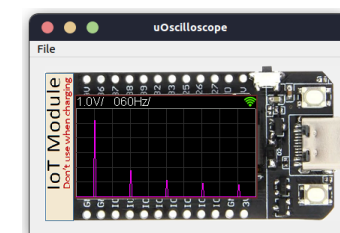
É ainda crucial analisar a visualização do resultado dos três algoritmos de cálculo da transformada:



(a) Onda quadrada 60Hz, 4V: FFT.



(b) Onda quadrada 60Hz, 4V: DFT.



(c) Onda quadrada 60Hz, 4V: CZT.

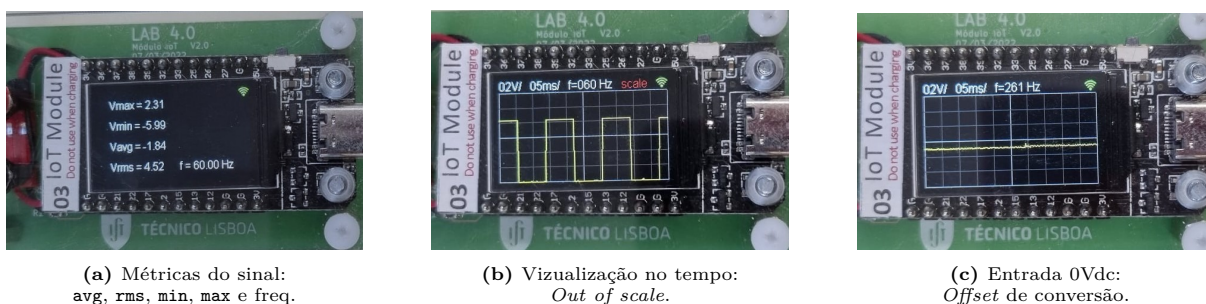
**Fig. 5:** Visualização do sinal no domínio da frequência para três algoritmos diferentes.

Para realizar a FFT do sinal de entrada, com tamanho de 240 amostras, foi efetuado um *zero padding* até à próxima potência de dois, 256. O *zero padding* quebra artificialmente a periodicidade do sinal, introduzindo transições bruscas nas suas fronteiras. Isto causa dispersão de energia para frequências adjacentes, expandindo e distorcendo as harmónicas do espectro. Em contraste, a CZT obtém um espectro com resolução idêntica à da DFT, preservando a mesma complexidade temporal da FFT [5].

## IV. Testes no Laboratório

Após a exploração do funcionamento do  $\mu$ Osciloscópio em regime de simulação, esta secção dedica-se à descrição e análise dos testes realizados em ambiente de laboratório. A transição do ambiente simulado para o real implica a necessidade de calibração dos instrumentos e o contacto com variáveis aleatórias, como veremos em seguida. Os ensaios em ambiente laboratorial não se destinam unicamente a verificar a funcionalidade do dispositivo em condições práticas, mas também à identificação de possíveis discrepâncias entre os resultados simulados e os obtidos em condições reais.

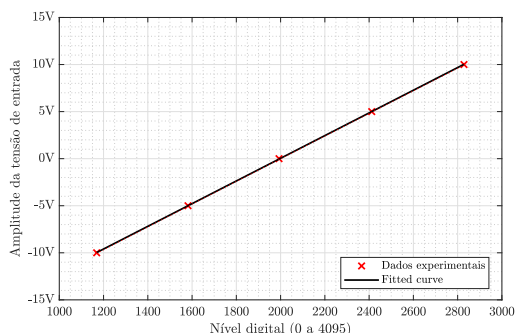
Começámos por analisar a resposta do osciloscópio a uma onda quadrada de frequência 60 Hz com 4 V de amplitude ( $V_{\text{pico-pico}} = 8 \text{ V}$ ) e tensão DC de  $-1 \text{ V}$ , sem realizar qualquer alteração ao código utilizado em regime de simulação, conforme apresentado na Figura 6.



**Fig. 6:** Visualização da onda quadrada antes da calibração e *offset* DC extra para uma entrada aproximadamente nula (0 V).

A ausência de calibração traduz-se num *offset* que descentra os sinais e em distorção (pouco visível<sup>4</sup>). No caso da onda quadrada, o valor médio, que deveria ser  $-1 \text{ V}$ , aproxima-se de  $-2 \text{ V}$ ; por outro lado, a entrada nula, que deveria estar centrada na origem da *grid* do osciloscópio, apresenta um deslocamento em relação ao centro.

O processo de calibração do  $\mu$ Osciloscópio consistiu na aquisição de valores de tensão DC conhecidos ( $-10 \text{ V}$ ,  $-5 \text{ V}$ ,  $0 \text{ V}$ ,  $5 \text{ V}$  e  $10 \text{ V}$ ) e na conversão em níveis digitais, através do *script* auxiliar fornecido, `main_exemplo2.py`, que, após carregado no dispositivo IoT, realizou a média de 100 amostras para um intervalo de 50 ms. Em seguida, com os dados experimentais, foi realizada uma análise em MATLAB® com base no modelo de regressão linear `fitlm`, cujo resultado<sup>5</sup> pode ser visualizado na Figura 7.



**Fig. 7:** Reta de regressão linear que relaciona os valores das amplitudes medidas com os níveis digitais do conversor.

```
f1 =

Linear regression model:
y ~ 1 + x1

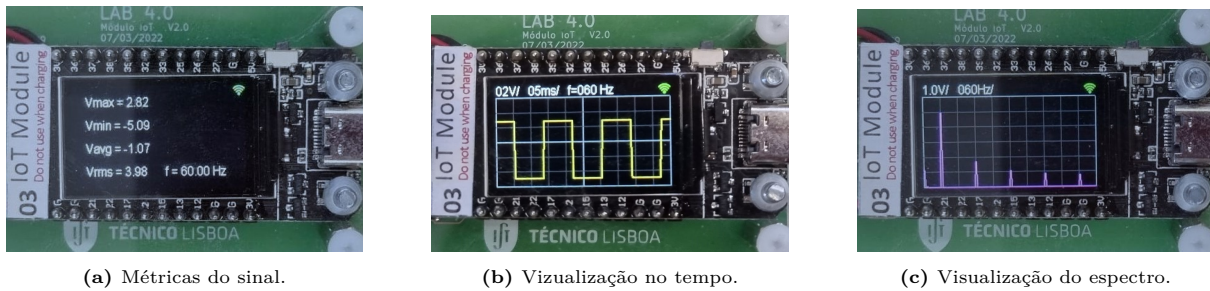
Estimated Coefficients:
              Estimate      SE      pValue
(Intercept)  -24.059      0.053085  2.3687e-08
x1           0.012049     2.5506e-05  2.0919e-08

Number of observations: 5, Error degrees of freedom: 3
Root Mean Squared Error: 0.0335
R-squared: 1, Adjusted R-Squared: 1
F-statistic vs. constant model: 2.23e+05, p-value = 2.09e-08
```

Os resultados após a calibração podem ser visualizados na Figura 8. Note-se que, nesta configuração, a tensão DC de *offset* extra previamente mencionada (consequência do uso da mesma função de conversão das amostras utilizada em regime de simulação) e as pequenas distorções observadas, são bastante menos pronunciadas.

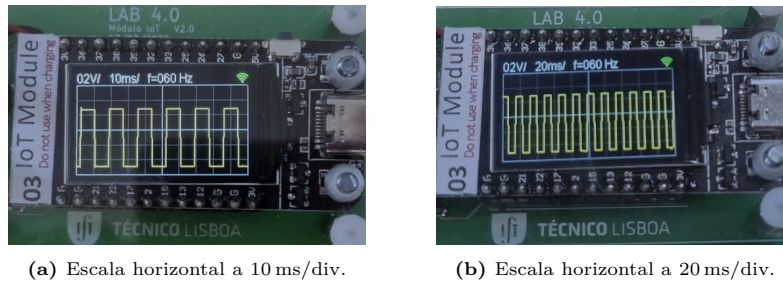
<sup>4</sup> Talvez devido à semelhança entre a função de conversão do nível digital para amplitude antes e após a calibração (os declives apresentam um erro simulação-experimental de cerca de 5%), onde a maior discrepância se verifica na constante de intercepção com o eixo vertical das duas retas (erro de cerca de 10%).

<sup>5</sup> O módulo utilizado em laboratório foi o IoT 03.0003.



**Fig. 8:** Visualização da onda quadrada com 4 V de amplitude ( $V_{\text{pico-pico}} = 8 \text{ V}$ ) e tensão DC de  $-1 \text{ V}$ , depois da calibração.

Na Figura 9 é possível observar a mesma onda quadrada para diferentes escalas horizontais.



**Fig. 9:** Continuação da visualização temporal da onda quadrada com 4 V de amplitude e tensão DC de  $-1 \text{ V}$ , depois da calibração.

Por fim, acrescenta-se que a funcionalidade de enviar as métricas do sinal amostrado por email se verificou regular em regime laboratorial, enquanto em regime de simulação ocasionalmente se encontrava fora de serviço.

## V. Conclusões

Os resultados obtidos demonstram que o osciloscópio desenvolvido é capaz de capturar e visualizar formas de onda bem como as respetivas representações espectrais com boa precisão. A calibração do sistema foi fundamental para aumentar a exatidão das medidas, eliminando possíveis distorções que comprometem a fidelidade e a confiabilidade das representações em causa.

Os objetivos do trabalho foram plenamente atingidos, tendo sido possível:

1. *Dominar o circuito de hardware base do projeto:* Através do estudo do guia e do subsequente contacto em meio laboratorial, foi adquirido um conhecimento profundo do *hardware* utilizado, nomeadamente da interface entre o microcontrolador e os componentes externos.
2. *Implementar o software do  $\mu$ Oscilloscope:* O *software* foi desenvolvido em Python® (restrito ao ambiente MicroPython®). A depuração e otimização do *software* foram realizadas através de testes em simulador e em ambiente laboratorial.
3. *Aplicar conhecimento sobre processamento de sinais digitais:* Através de algoritmos para a captura e análise de sinais, onde se destacam a DFT, a FFT, a CZT, o método de estimação de frequência por *zero crossings*, bem como conceitos como o espelhamento, espalhamento e o Teorema da Amostragem.
4. *Calibrar o Osciloscópio:* A calibração do osciloscópio foi realizada em laboratório, ajustando o *software* ao *hardware* específico utilizado, com base em ferramentas computacionais.

Conclui-se que a execução e resultados deste projeto consolidam o entendimento e aplicação dos conceitos de sistemas embebidos e *internet* das coisas, através da conceção e ajuste do  $\mu$ Oscilloscope. Demonstrou-se, assim, a correlação entre o desempenho teórico esperado e os resultados experimentais obtidos, enfatizando a eficácia das técnicas de processamento de sinais digitais.

## Referências

- [1] Python Software Foundation, “[Python Documentation v3.9](#),” last accessed in 2024-03-28.
- [2] D. George, P. Sokolovsky, et al., “[MicroPython Documentation](#) (latest),” last accessed in 2024-03-28.
- [3] A. Oppenheim and R. Schaffer, *Discrete-Time Signal Processing*, 3rd ed. Prentice Hall, 2010, ch. 8–10.
- [4] J. Beard, *The FFT in the 21st Century: Eigenspace Processing*, 1st ed. Springer, 2004, pp. 33–81, ch. 2–3.
- [5] L. Rabiner, R. Schaffer, and C. Rader, “The Chirp Z-Transform Algorithm,” *IEEE Transactions on Audio and Electroacoustics*, vol. 17, pp. 86–92, 1969.

## Anexo

### i) Implementação do Algoritmo CZT

A CZT pode ser entendida como um processo de três etapas [5]:

1. Criar uma nova sequência  $y_n$  a partir de  $x_n$ , de acordo com a equação:

$$y_n = x_n A^{-n} W^{n^2/2}, \quad n = 0, \dots, N-1.$$

2. Realizar a convolução da sequência  $y_n$  com a sequência  $v_n$  definida como  $v_n = W^{-n^2/2}$ , de forma a obter uma sequência  $g_k$ , onde

$$g_k = \sum_{n=0}^{N-1} y_n v_{k-n}, \quad k = 0, \dots, M-1.$$

3. Multiplicar  $g_k$  por  $W^{k^2/2}$  de forma a obter  $X_k$ :

$$X_k = g_k W^{k^2/2}, \quad k = 0, \dots, M-1.$$

Onde, para o caso específico do cálculo da DFT, admitimos:

$$A = 1, \quad W = e^{-j2\pi/N}, \quad M = N.$$

```
271 def czt(self):
272     """
273     Calculates the Chirp Z-Transform.
274     """
275     n = len(self.amplitudes)
276     m = n # Number of output points
277     w = cmath.exp(-2j * cmath.pi / m) # Ratio between successive points on the spiral contour
278     a = 1 # Starting point on the Z-plane
279
280     # Precompute chirp values
281     chirp = [w**(i**2 / 2.0) for i in range(1 - n, max(n, m))]
282
283     # Zero padding and preparation for FFTs
284     N2 = int(2 ** math.ceil(math.log2(m + n - 1))) # Next power of 2
285
286     dummy = chirp[n - 1 : n + n - 1]
287     xp = [self.amplitudes[i] * a ** -i * dummy[i] for i in range(n)] # yn
288     xp = xp + [0.0] * (N2 - n)
289     del dummy
290
291     ichirpp = [1/i for i in chirp[: m + n - 1]]
292     ichirpp = ichirpp + [0.0] * (N2 - (m + n - 1))
293
294     # Calculate FFTs
295     fft_xp, fft_ichirpp = self.fft(xp), self.fft(ichirpp)
296     del xp, ichirpp
297     gc.collect()
298
299     # Convolution in frequency domain becomes a product
300     k = [fft_xp[i] * fft_ichirpp[i] for i in range(N2)]
301     r = self.ifft(k) # gk
302     r = [v / len(r) for v in r]
303     r = r[n - 1 : m + n - 1]
304     del k, fft_xp, fft_ichirpp
305     gc.collect()
306
307     # Scale and adjust phase based on chirp
308     chirp = chirp[n - 1 : m + n - 1]
309     result = [r[i] * chirp[i] for i in range(len(r) // 2)] # Xk
310     del chirp
311     gc.collect()
312
313     # Grouping values two by two and magnitude scaling with normalization
314     mag = [0.0] * 2 * len(result)
315     for i in range(m // 2):
316         mag[2 * i] = result[i]
317         mag[2 * i + 1] = mag[2 * i]
318
319     mag = [abs(value) / len(mag) for value in mag]
320     for i in range(len(mag)):
321         mag[i] *= 2 if i>1 else 1
322
323     return mag
```

A FFT e a sua inversa tomam uma implementação clássica como se apresenta em seguida:

```
233 def fft(self, x):
234     """
235     A recursive implementation of the 1D Cooley-Tukey FFT, the input should have a length of power of 2.
236     """
237     N = len(x)
238
239     if N == 1:
240         return x
241     else:
242         X_even = self.fft(x[0:N:2])
243         X_odd = self.fft(x[1:N:2])
244
245         out = [0.0] * N
246         for k in range(N//2):
247             out[k] = X_even[k] + self.exp(N, -k) * X_odd[k]
248             out[k + N // 2] = X_even[k] - self.exp(N, -k) * X_odd[k]
249
250     return out
```

```
252 def ifft(self, x):
253     """
254     Implements the 1D Inverse Fast Fourier Transform (IFFT). The input should have a length of power of 2.
255     """
256     N = len(x)
257
258     if N == 1:
259         return x
260     else:
261         X_even = self.ifft(x[0:N:2])
262         X_odd = self.ifft(x[1:N:2])
263
264         out = [0.0] * N
265         for k in range(N//2):
266             out[k] = X_even[k] + self.exp(N, k) * X_odd[k] # Conjugate twiddle factor
267             out[k + N // 2] = X_even[k] - self.exp(N, k) * X_odd[k]
268
269     return out
```